

برآورد پارامترهای سینماتیک چشمی و فاکتور کیفیت مستقل از بسامد امواج بُرشی با استفاده از شتابنگاشتهای زمینلرزه‌های اهر- ورزقان ۱۳۹۱

ندا معصومی‌نیا^۱، حبیب رحیمی^{۲*} و مهدی رضابور^۳

^۱دانشجوی کارشناسی ارشد ژئوفیزیک، گروه فیزیک زمین، موسسه ژئوفیزیک دانشگاه تهران، ایران

^۲استادیار، گروه فیزیک زمین، موسسه ژئوفیزیک، دانشگاه تهران، ایران

^۳دانشیار، گروه فیزیک زمین، موسسه ژئوفیزیک دانشگاه تهران، ایران

(دریافت: ۹۲/۵/۲۷، پذیرش نهایی: ۹۲/۱۱/۱۵)

چکیده

در این تحقیق، شتابنگاشتهای جنبش نیرومند زمین، ثبت شده در طی دو زمینلرزه ۲۱ مرداد ۱۳۹۱ در ناحیه اهر - ورزقان به منظور برآورد پارامترهای چشمی و میرایی بخش بسامد بالای امواج بُرشی مورد استفاده قرار گرفت. پارامترهای چشمی از ۱۱۰ شتابنگاشت سه مولفه‌ای مربوط به دو زمینلرزه با بزرگای گشتاوری $6/5$ و $6/4$ در فاصله کانونی ۲۲ تا ۲۰۶ کیلومتر به دست آمد. برای این منظور با استفاده از روش مدل‌سازی معکوس تعمیم‌یافته، فاکتور کیفیت امواج بُرشی و بسامد گوشه برای هر زمینلرزه و در ایستگاه‌های گوناگون برآورد شد. با مدل‌سازی وارون پیش‌گفته میانگین پارامترهای چشمی برآورده شده برای دو زمینلرزه به ترتیب برابر (dyn-cm) $r_2 = 8/19$, $r_1 = 13/59$ km, $f_{c_2} = 0/17$, $f_{c_1} = 0/13$ Hz, $M_{0_2} = 3/26$ E + ۲۶, $M_{0_1} = 1/04$ E + ۲۶ و $\Delta u_2 = 5/51$, $T_{d_2} = 9/13$ sec, $T_{d_1} = 110/04$ cm, $\Delta \sigma_2 = 32/02$, $\Delta \sigma_1 = 86/74$ bars, $\Delta u_1 = 50/39$, $\Delta \sigma_1 = 86/74$ bars, $M_{w_2} = 6/2$, $M_{w_1} = 6/5$ می‌باشد که با مقادیر بدست آمده از مدل‌سازی امواج دورلرز که داشگاه هاروارد گزارش کرده است، دارد. میانگین فاکتور کیفیت امواج بُرشی در بازه بسامدی $0/01$ تا 15 هرتز برای پوسه بالای در محدوده ۷۱ تا ۵۶۱ محاسبه شد که برای ایستگاه‌ها در فواصل نزدیک دارای مقادیر کمتر (جذب بالا) و برای ایستگاه‌های دورتر مقادیر بزرگ‌تر (جذب کم) محاسبه شد که با جذب بسامد بالا در حوزه نزدیک به خوبی همخوانی دارد. مقدار میانگین فاکتور کیفیت امواج بُرشی برای منطقه مورد بررسی، ۲۷۶ برآورد شد.

واژه‌های کلیدی: اهر - ورزقان، روش کمترین مربعات، امواج بُرشی، فاکتور کیفیت، پارامترهای چشمی

Estimation of the kinematic source parameters and frequency independent shear wave Quality factor from acceleration records of the Ahar-Varzagan earthquake 2012

Masominia, N.¹, Rahimi, H.² and Rezapour, M.³

¹M.Sc. Student of Geophysics, Earth Physics Department, Institute of Geophysics, University of Tehran, Iran

²Assistant Professor, Earth Physics Department, Institute of Geophysics, University of Tehran, Iran

³Associate Professor, Earth Physics Department, Institute of Geophysics, University of Tehran, Iran

(Received: 18 Aug 2013, Accepted: 04 Feb 2014)

Summary

Two relatively large earthquakes on the 11th of August of 2012, struck the region of Varzagan and Ahar County, East Azerbaijan Province, NW Iran. The devastation caused by earthquakes in different regions and prediction of strong ground motions from large earthquakes has attracted the attention of seismologists to investigate the attenuation characteristics of the region and source characteristics of earthquakes to better understand the seismic hazards in different regions. Several recent and historical catastrophic earthquakes have destroyed different parts of East Azerbaijan Province. The seismic

E-mail: rahimih@ut.ac.ir

*نگارنده رابط: تلفن: ۰۲۱-۶۱۱۸۴۰-۴۷۹ - دورنگار: ۰۲۱-۸۸۳۰-۴۷۹

hazard map of Iran [published by the Building and Housing Research Center (BHRC)] shows that most of the cities in this Province are located within the high or very high relative risk areas. The quality of manmade constructions, especially in small villages and towns, is usually poor. Residences are generally built without considering seismic design regulations, so they are highly vulnerable and will collapse under shaking caused by even moderate earthquakes.

A displacement spectrum contains valuable information regarding the source and medium characteristics. The source spectrum of an earthquake can be approximated by the omega-square model (Brune, 1970), which has ω^2 decay of high frequencies above the corner frequency. The source displacement spectrum can be estimated from a displacement record after correcting with diminution function, which accounts for the geometrical spreading and anelastic attenuation. The anelastic attenuation of seismic waves is characterized by a dimensionless quantity called quality factor Q (Knopoff, 1964). So far a few studies have been carried out to understand the attenuation characteristics of the Iranian crust. Examples include the work by Nutlii (1980), Michell (1995) and Rahimi & Hamzehloo (2008). An analysis scheme for obtaining source parameters and quality factor Q using the generalized inversion has been presented in this paper. The work presented here is approximately based on the technique of Fletcher (1995) and Joshi (2006) that used inversion methods. In this paper, the Brune's source model (Brune, 1970) is used together with the propagation filter. This study uses the acceleration data of the Ahar-Varzagan main shock recorded by Building and Housing Research Center (BHRC) strong ground motion network. Our main objectives are: (i) to compute the source parameters of these earthquakes using the acceleration data, and (ii) to compute the frequency-independent shear wave quality factor in the recorded stations.

In this study to get shear wave quality factor and source parameter in the near field, we used the strong motion data of the two earthquakes. Source parameters are estimated from that are related to two events with moment magnitudes of 6.5 and 6.4 in the hypocentral distance range from 22 to 206 Km. In this approach the theoretical S-wave displacement spectra, conditioned by frequency-independent Q, was fitted with the observed displacement spectra. Therefore corner frequency, moment magnitude and frequency-independent Q for each record are estimated simultaneously and the error estimate is given as the root-mean-square over all the frequencies. The source terms estimated here are $M_{0_1} = 1.04E + 26$, $M_{0_2} = 3.26E+25(\text{dyn-cm})$, $f_{c_1} = 0.13$, $f_{c_2} = 0.17(\text{Hz})$, $r_1 = 13.59$, $r_2 = 8.19(\text{km})$, $\Delta\sigma_1 = 86.74$, $\Delta\sigma_2 = 32.02(\text{bar})$, $\Delta u_1 = 110.4$, $\Delta u_2 = 50.39(\text{cm})$, $T_{d_1} = 9.13$, $T_{d_2} = 5.51(\text{sec})$ and estimated moment magnitude ($M_{W_1} = 6.5$, $M_{W_2} = 6.2$) agree well with values obtained from telesiesmic wave of Harvard University. Estimate of path-average crustal shear –wave quality factors give a range of Q= 71 to 501 for frequency band of 0.01 to 15 Hz, that for near stations has a low value (high absorption) and for others at the further distance it has high value (low absorption), which shows good agreement with high-frequency absorption in near field. Independent estimates of Q at various stations give its average value of 276.

Keywords: Ahar-varzagan Earthquake, Source parameters, Quality factor, root-mean-square, Shear wave

۱ مقدمه

زاگرس در جنوب واقع شده است (حسامی و همکاران، ۲۰۰۳). زمین ساخت فعال در این ناحیه همانند دیگر نقاط ایران ناشی از همگرایی مایل صفحه عربستان و اوراسیا

پهنه شمال غربی فلات ایران بخشی از کمربند کوهزایی آلپ- هیمالیا و ناحیه‌ای با تغییر شکل و لرزه خیزی زیاد است که بین دو کمربند تراستی قفقاز در شمال و کوههای

دارند. منطقه اهر - ورزقان از نظر لرزه‌زمین‌ساختی در بخش شمال غربی از ایالت پیش گفته واقع شده است. گروه تحقیقاتی دانشگاه هاروارد پارامترهای سازوکار کانونی گسل‌های مسبب این دو زمین‌لرزه را به صورت زیر گزارش کرده‌اند. برای این دو زمین‌لرزه، با استفاده از فازهای گوشه‌ای امواج ثبت شده و وارون‌سازی تانسور گشتاور برای رویداد اول به ترتیب برابر $M_w = 81$ و $\delta = 6$ درجه و از وارون‌سازی تانسور گشتاور امواج درونی دوره بلند برای رویداد دوم به ترتیب برابر $M_w = 10$ و $\delta = 50$ درجه گزارش شده است. گشتاور لرزه‌ای برآورد شده این گروه تحقیقاتی برای دو زمین‌لرزه برابر $(4/24)E + 25$ (dyn-cm) و $M_{0_1} = 6/04 E + 25$ است. موقعیت گسل‌ها به همراه توزیعی از رومرکز زمین‌لرزه‌های تاریخی (پیش از ۱۹۰۰) و دوره نخست دستگاهی (۱۹۰۰-۱۹۶۳) براساس گزارش آمرسیس و ملویل (۱۹۸۲) مربوط به منطقه تبریز (شکل ۱) نشان می‌دهد که منطقه پیرامون چشم‌های دو زمین‌لرزه اهر - ورزقان فاقد گسل‌های فعال شناخته شده و یا گسل با شکستگی سطحی است. با توجه به فراوانی رویدادها در شمال غرب ایران، تا پیش از وقوع این دو زمین‌لرزه، هیچ زمین‌لرزه‌ای با بزرگی بیش از ۴ در منطقه اهر - ورزقان دیده نشده است.

وقوع زلزله‌های نیرومند تا بزرگ در فلات ایران تاکنون باعث خسارات جانی و مالی زیادی شده است (زلزله طبس ۱۹۷۸؛ زلزله منجبل - رودبار ۱۹۹۰، زلزله بم ۲۰۰۳ و زلزله اخیر اهر - ورزقان ۲۰۱۲) که ضرورت برآورد خطر لرزه‌ای واقع‌بینانه و شبیه‌سازی ستاریوهای لرزه‌ای واقع‌گرایانه و تحقیقات پایه‌ای به منظور کاهش دادن خسارات جانی و مالی را به هنگام وقوع زلزله آشکار می‌سازد. یکی از اهداف مهم دانش زلزله‌شناسی و زلزله‌شناسی مهندسی، بررسی پارامترهای دخیل در میزان خسارات واردہ به مناطق زلزله‌خیز و سعی در شبیه‌سازی

است. شواهد زمین‌شناسی و حل سازوکار کانونی زمین‌لرزه‌ها نشان از وجود دو گسلش امتدادلغز مزدوج و تراستی در این ناحیه است (جکسون، ۱۹۹۲). جکسون و مکنزی (۱۹۸۴) با استفاده از تانسور نرخ کرنش لرزه‌ای نشان دادند که در پهنه شمال غربی فلات ایران، همانند زاگرس بیشتر تغییر شکل‌ها به صورت غیرلرزه‌ای رخ می‌دهند. در این پهنه، گسل‌های شمال تبریز، ارومیه، ارس، تالش و سلطانیه تاثیرات مهمی در زمین‌ریخت منطقه داشته‌اند. حرکات این گسل‌ها، ترکیبی از حرکات امتدادلغز و اریب - نرمال است. از طرفی دیگر، توزیع کانونی زمین‌لرزه‌های محلی دارای روند کلی شمال‌غرب - جنوب‌شرق است که با گسل‌های اصلی در منطقه تطبیق دارد (قیطانچی و همکاران، ۲۰۰۴).

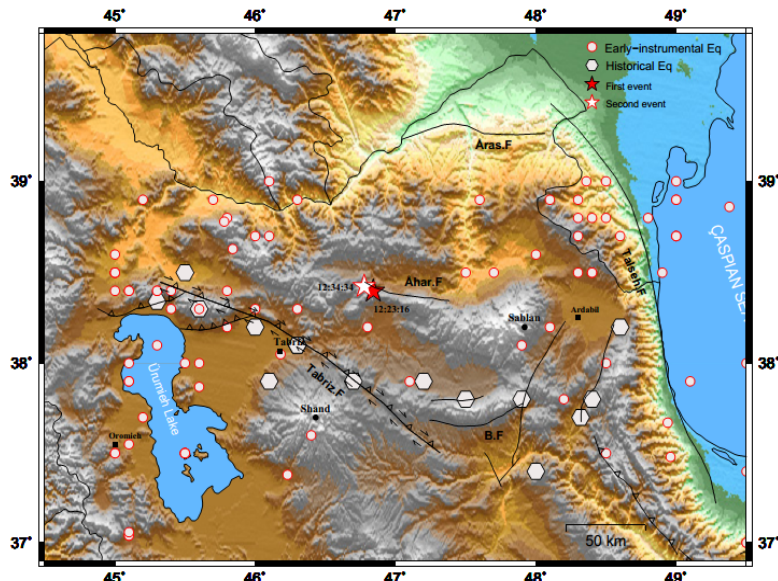
گزارش‌های تاریخی و اطلاعات ثبت شده با دستگاه‌های لرزه‌نگاری و نیز شواهد زمین‌شناسی همگی نشان می‌دهند که شمال غرب ایران یکی از مناطق لرزه‌خیز خاورمیانه به شمار می‌آید (قیطانچی و همکاران، ۲۰۰۴). تاریخ زمین‌لرزه‌های مخرب در ایران نشانگر این است که شهر تبریز و نواحی اطراف آن چندین بار به طور کامل در اثر زمین‌لرزه‌های مخرب ویران شده و مجدداً مورد بازسازی قرار گرفته است. این امر تاییدی است بر اینکه ناحیه شمال غرب ایران و به خصوص تبریز و اطراف آن به لحاظ فعالیت زمین‌ساختی، یک منطقه کاملاً مستعد برای رویدادهای بزرگ به شمار می‌رود و این زمین‌لرزه‌های احتمالی در اثر فعالیت گسل‌های فعال این پهنه نظیر گسل شمال تبریز، گسل شمال میشو، گسل تسوج و گسل صوفیان و سایر گسل‌های موجود در این ناحیه قابل وقوع است.

زمین‌لرزه‌های رویداده در ۲۱ مرداد سال ۱۳۹۱ به ترتیب با بزرگی گشتاوری $M_w = 6/5$ و $M_w = 6/4$ (CMT) در ناحیه اهر - ورزقان در منطقه آذربایجان شرقی، در ایالت لرزه‌زمین‌ساختی البرز - آذربایجان قرار

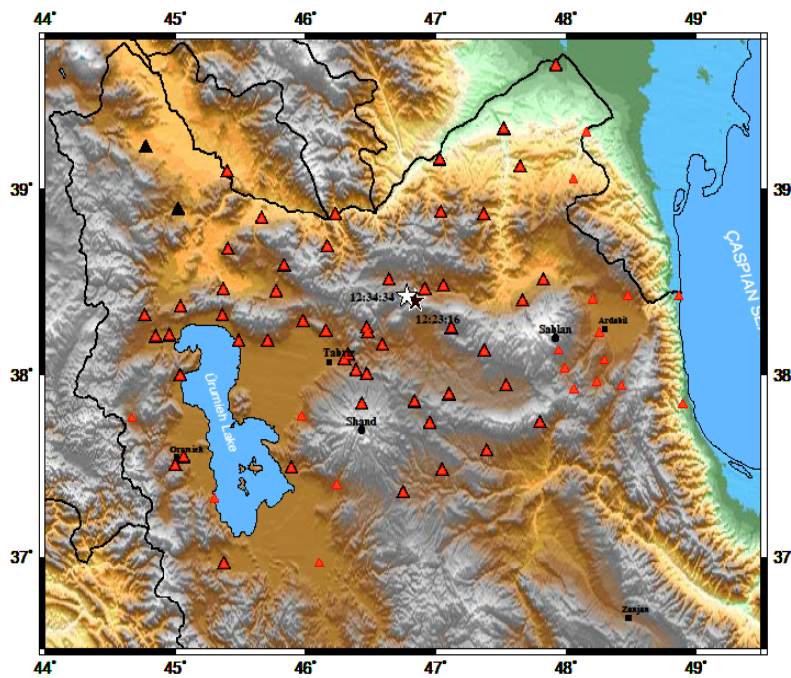
(CMT ۶/۴)، به ترتیب در ۴۸ و ۶۲ دستگاه شتابنگار از دستگاه‌های شبکه شتابنگاری مرکز تحقیقات ساختمان و مسکن (BHRC) به ثبت رسیده‌اند. در شکل ۲ موقعیت رومرکز دو زمین‌لرزه و ایستگاه‌های شتابنگارهای ثبت کننده این رویدادها نشان داده شده است. شتابنگارهای پیش‌گفته از نوع SSA-2 با قدرت تفکیک ۱۲ bits هستند و دو مولفه افقی و یک مولفه قائم را با نرخ نمونه‌برداری ۲۰۰ نمونه بر ثانیه، شتاب آستانه ۱۰ gal و بسامد طبیعی ۵۰Hz با پاسخ بسامدی هموار در بازه بسامدی ۵۰Hz-۵Hz ثبت می‌کنند. فاصله رومرکزی برای ایستگاه‌های ثبت کننده شتاب، ۲۲ تا ۲۰۶ کیلومتر با زاویه آزمونی ۳۱۵/۵۲-۱۱/۰۴ درجه است. شرایط ساختگاهی بیشتر ایستگاه‌ها از سوی مرکز تحقیقات مسکن مشخص نشده است و لذا در این تحقیق از موج SH به علت اینکه کمتر از سایر مولفه‌ها تحت تاثیر ناهمگنی‌های پوسته قرار می‌گیرد استفاده شد. در این تحقیق از تاثیر پراکندگی و تقویت‌شدگی با اثرات زیر سایت‌های ایستگاه‌ها که در باند بسامدی محدودی موثر هستند، صرف نظر شده است.

سناریوهای زلزله‌های محتمل به منظور طراحی و ساخت و ساز بهینه سازه‌ها و درنهایت کاهش دادن تلفات جانی و مالی است. در نبود داده‌های مناسب از زلزله‌های نزدیک، پیش‌بینی شدت و تغییرپذیری حرکات نیرومند زمین از زلزله‌های بزرگ آینده، به میزان توانایی ما در مدل‌سازی واقع‌بینانه مشخصه‌های چشممه‌ها، اثرات مسیر و ساختگاه و درنهایت شبیه‌سازی نحوه حرکات نیرومند زمین در مناطق مختلف بستگی دارد. در تحقیق حاضر با استفاده از داده‌های ثبت شده از دو زلزله منطقه اهر- ورزقان، پارامترهای موثر در شکل‌گیری حرکت نیرومند زمین اعم از اثرات چشممه و مسیر با استفاده از روش وارون‌سازی، که الگو گرفته شده از روش به کار رفته جوشی (۲۰۰۶) است، برآورد شد که علاوه بر کاربرد این پارامترها در شبیه‌سازی زلزله‌های بزرگ رخ داده در منطقه، ابزار لازم برای سناریوهای گوناگون شبیه‌سازی در منطقه هستند.

۲ پردازش داده دو رویداد اصلی اهر- ورزقان با بزرگای گشتاوری ۶/۵ و



شکل ۱. نقشه لرزه‌خیزی منطقه. علامت هشت‌ضلعی و مربع به ترتیب زمین‌لرزه‌های دستگاهی رخ داده در بازه زمانی ۱۹۰۰-۱۹۶۳ و زمین‌لرزه‌های تاریخی را نشان می‌دهند. خطوط پررنگ مشگی گسل‌های اصلی منطقه را نشان می‌دهد و گسل اهر برگرفته از میرزاچی و همکاران (۱۹۹۹) است. رومرکز زمین‌لرزه اول و دوم به ترتیب با ستاره سرخ و سفید نشان داده شده است.



شکل ۲. رومرکز زمین‌لرزه‌ها و ایستگاه‌های شتاب‌نگاری مرکز تحقیقات ساختمان و مسکن در منطقه اهر- ورزقان؛ ستاره‌های سیاه و سفید به ترتیب رویداد اول و دوم و مثلث‌های سیاه، سرخ و سرخ با کادر سیاه مربوط ایستگاه هایی هستند که، به ترتیب رویداد اول، دوم و هردو رویداد را ثبت کردند.

از فیلتر باترورت باند گذر مرتبه ۴ در باند بسامدی ۱۰/۰ تا ۲۵ هرتز برای حذف انرژی امواج سطحی فیلتر شد تا سری زمانی $e(n)$ حاصل شود و سپس پوش شتاب از رابطه (۱) محاسبه شد.

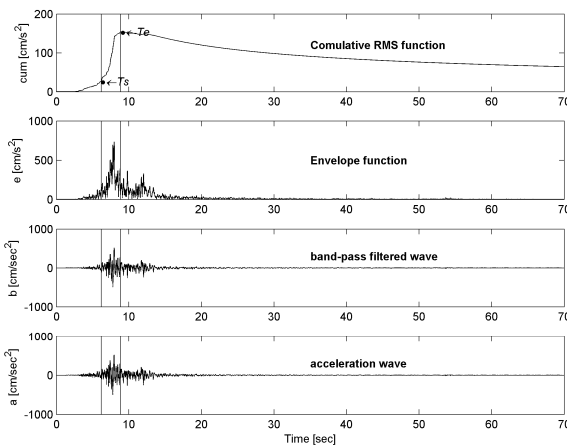
$$e(n) = [b(n)^2 + H^2\{b(n)\}]^{0.5}, \quad (1)$$

که در آن، $\{b(n)\}H$ تبدیل هیلبرت سری زمانی $b(n)$ است. مقدار $e(n)$ با ورود فاز مستقیم موج بُرشی افزایش می‌یابد و در انتهای آن کاهش پیدا می‌کند؛ درنهایت انتهای موج بُرشی ازتابع ریشه میانگین مجموع مربعات افزایشی از $e(n)$ به صورت رابطه (۲) به دست می‌آید.

$$c(n) = [l^{-1} \sum_{n=l}^l e(n)^2]^{0.5}, \quad (2)$$

که در شکل ۳ نمودار مولفه مماسی سری‌های زمانی $c(n)$ و $e(n)$ برای شتاب‌نگاشت ایستگاه ورزقان برای نمونه آورده شده است. انتهای موج بُرشی روی محور زمان جایی است که $c(n)$ شروع به کاهش می‌کند.

برای بدست آوردن امواج SH و SV باید مولفه‌هایشعاعی و تقاطعی برآورد شود. بدین‌منظور مولفه‌های L و T شتاب‌نگاشتها در هر ایستگاه و برای هر رویداد، نسبت به آزمیوت مولفه L چرخانده شد تا دو مولفه شمالی-جنوبی و شرقی-غربی محاسبه شود. در مرحله بعد مولفه‌های شمالی-جنوبی و شرقی-غربی حاصل از چرخش اول، در جهت بک‌آزمیوت (Back-azimuth) با توجه به رومرکز گزارش شده موسسه ژئوفیزیک دانشگاه تهران چرخانده شدند تا مولفه‌های شعاعی و تقاطعی برآورده شود. به‌منظور محاسبه چگالی طیفی موج مستقیم SH، پنجره‌ای زمانی به طول T_d روی قسمت مستقیم موج بُرشی به روی مولفه تقاطعی جدا شد به‌طوری که ابتدای موج بُرشی، T_s به صورتی‌که انتهای موج بُرشی، T_e ، از روش عرضه شده کینوشیتا (۱۹۹۴) تعیین شده است. طبق الگوریتم کینوشیتا (۱۹۹۴) به‌منظور بدست آوردن انتهای موج بُرشی، مولفه مماسی با استفاده



شکل ۳. مثالی از انتخاب پنجره موج بُرشی مستقیم با استفاده از الگوریتم کینوشیتا (۱۹۹۴) برای رویداد دوم رخداد در ۲۱ مرداد ۱۳۹۲، ثبت شده در ایستگاه ورزقان. T_S و T_E به ترتیب زمان شروع و انتهای پنجره موج بُرشی مستقیم را نشان می‌دهد.

اثر سطح آزاد و PRTITN فاکتور کاهش است که تقسیم انرژی در دو مولفه افقی ($PRTITN = \frac{1}{\sqrt{2}}$) را در بر می‌گیرد. ρ و β به ترتیب چگالی و سرعت موج بُرشی هستند. برمنای کار اکی (۱۹۶۷) و برون (۱۹۷۰) طیف چشمۀ S به صورت رابطه (۵) تعریف می‌شود:

$$S(\omega, \omega_C) = \frac{\omega^2}{1 + (\omega/\omega_C)^2} \quad (5)$$

که در اینجا، ω_C بسامد گوشه و مدل طیف در معادله (۵) توان ۲ بسامد زاویه‌ای (ω^2) است. $P(\omega, \omega_m)$ در معادله (۳) فیلتر پایین‌گذراست و این جمله مربوط به مشاهداتی است که طیف شتاب آنها، افت شدید با افزایش بسامد را نشان می‌دهد. پاپا جرجیو و اکی (۱۹۸۳) نسبت به پردازش چشمۀ، و هانکس (۱۹۸۲) نسبت به میرایی نزدیک سایت ثبت کننده، ω_m را توصیف کرده‌اند. شکل فیلتر پایین‌گذرا، P ، به صورت رابطه (۶) توصیف می‌شود (بور، ۱۹۸۳):

$$P(\omega, \omega_m) = \left[1 + \left(\omega / \omega_m \right)^2 \right]^{-1/2} \quad (6)$$

که در آن، پارامتر s میزان افت در بسامدهای زیاد را کنترل می‌کند. در معادله (۳) میرایی کل مسیر در عبارت نمایی و در پارامتر Q آورده شده است.تابع گسترش هندسی در معادله (۳) در توانی از جمله $R_{\theta\phi}/R^1$ حساب

بعد از جدا کردن پنجره موج بُرشی امواج SH با استفاده از تبدیل فوریه سریع، طیف دامنه امواج بُرشی بعد از اعمال تیپرکسانین ۱۰٪ روی پنجره پیش‌گفته به منظور کاهش تاثیر پنجره‌بندی محاسبه شد که در آن از طیف دامنه‌های پیش‌گفته به همراه سایر اطلاعات موردنیاز برای برآورد پارامترهای چشمۀ و فاکتور کیفیت امواج بُرشی استفاده شد.

۳ تحلیل روش

در این تحقیق در طی فرایند وارون‌سازی گشتاور لرزه‌ای، فاکتور کیفیت مستقل از بسامد و بسامد گوشه برای هر شتاب نگاشت ثبت شده از زمین لرزه اهر- ورزقان به دست آمد. طیف شتاب امواج بُرشی در فاصله R از گسل با گشتاور لرزه‌ای M_0 به صورت رابطه (۳) تعریف می‌شود (بور، ۱۹۸۳):

$$A(\omega) = CM_0 S(\omega, \omega_C) P(\omega, \omega_m) \frac{e^{-\omega R / 2Q\beta}}{R}, \quad (3)$$

که در آن، C پارامتری ثابت و معادل با رابطه (۴) است (بور، ۱۹۸۳):

$$C = \frac{R_{\theta\phi} \cdot FS \cdot PTTITN}{4\pi\rho\beta^3} \quad (4)$$

که در آن، $R_{\theta\phi}$ الگوی تابشی، FS تقویت دامنه به علت

$$\ln P(\omega_i) \quad (12)$$

معادله (۱۲) را می‌توان به شکل ماتریسی و به صورت زیر نوشت.

$$\begin{bmatrix} 1 & -\pi f_1 \\ 1 & -\pi f_2 \\ 1 & -\pi f_3 \\ \vdots \\ 1 & -\pi f_n \end{bmatrix} \begin{bmatrix} \ln M_0 \\ t^* \end{bmatrix} = \begin{bmatrix} K(f_1) \\ K(f_2) \\ \vdots \\ K(f_n) \end{bmatrix} \quad (13)$$

بدین ترتیب برای هر شتاب‌نگاشت ثبت شده از هر زلزله رابطه‌های ماتریسی به شکل ۱۳ تشكیل و منجر به شکل ماتریسی به صورت رابطه ۱۴ شد که در روش‌های وارونسازی خطی از آن استفاده می‌شود.

$$Gm = d \quad (14)$$

که m ماتریس مدل و شامل پارامترهای مدل، و d ماتریس داده‌ها که شامل مولفه‌های طیفی است. برای به دست آوردن پارامترهای مدل، بایستی ماتریس مستطیلی G به صورت یک ماتریس وارون‌پذیر تبدیل شود، برای این منظور ماتریس G در ترانهاده خودش ضرب می‌شود. در این صورت با استفاده از روش‌های وارونسازی خطی، پارامترهای مدل به صورت زیر محاسبه می‌شود.

$$m = (G^T G)^{-1} G^T d \quad (15)$$

برای حل دستگاه معادلات ۱۵ از روش وارونسازی کمترین مربعات استفاده شده است. برای این منظور با جست‌وجو روی مقادیر بسامد گوشه در یک محدوده قابل انتظار 10^0 – 10^1 و با گام‌های 10^0 هرتز و به کار گیری فرایند وارونسازی در هر گام پارامترهای مجھول t^* و $f_{c,i}$ برآورد شد که با جای‌گذاری مقادیر M_0 و $\ln M_0$ در معادله (۸) طیف دامنه نظری برای هر شتاب‌نگاشت محاسبه شد. با محاسبه کمترین خطای مجدور ریشه مربعات طیف دامنه نظری و مشاهده‌ای در هر گام و برآورد تفاوت این دو طیف و با اتمام روند تکرار روی بسامد گوشه، مقادیر مجھول شامل گشتاور لرزه‌ای، بسامد گوشه و فاکتور کیفیت برای هر شتاب‌نگاشت برآورد شد.

می‌شود، که به صورت رابطه (۷) محاسبه می‌شود (هرمن و کیجکو، ۱۹۸۰):

$$\frac{1}{R} = \begin{cases} \frac{1}{R} & R < R_0 \\ \left(\frac{1}{RR_0} \right)^{0.5} & R \geq R_0 \end{cases} \quad (7)$$

که در آن، R_0 دو برابر عمق مoho (تقی‌زاده-فرهمند و صدوی، ۲۰۱۰)، است که بنابر منطقه مورد بررسی ۹۱ کیلومتر در نظر گرفته می‌شود. پارامتر $t^* = R/Q\beta$ که با استفاده از مقدار میانگین گیری شده Q در مسیر طی شده با شکل موج، تعریف می‌شود (لی و والانس، ۱۹۹۵) و گشتاور لرزه‌ای در رابطه (۳) در حکم مقادیر مجھول است. با گرفتن لگاریتم طبیعی از دو طرف معادله (۳) خواهیم داشت:

$$\ln A(\omega) = \ln C + \ln M_0 + \ln S - \ln R + \ln P - \pi t^* f \quad (8)$$

با قرار دادن مقدار اولیه $0/01$ برای بسامد گوشه، بسامد گوشه در طی جست‌وجوی شبکه با گام‌های 10^0 – 10^1 با به دست آوردن کمترین مربعات محاسبه شد. دو پارامتر فاکتور کیفیت و گشتاور لرزه‌ای نیز در طی وارونسازی با به دست آوردن کمترین مربعات، به دست آمدند. در وارونسازی به روش کمترین مربعات عبارت زیر کمینه می‌شود:

$$\chi^2 = [A(f) - S(f)]^2 \quad (9)$$

که در آن، $S(f)$ طیف چشمی (بور، ۱۹۸۳) است. به منظور شکل‌دهی ماتریسی به معادلات، رابطه (۸) به صورت زیر بازنویسی شد.

$$\ln M_0 - \pi t^* f = \ln A(\omega) - \ln C - \ln S + \ln R - \ln P \quad (10)$$

رابطه (۱۰) به مجموعه‌ای از معادلات برای بسامدهای f_i ، $i = 1, 2, \dots, n$ تبدیل می‌شود که طول بردار بسامد حاصل از تبدیل فوریه است.

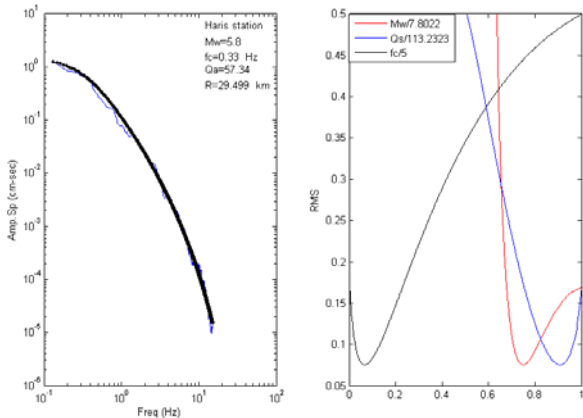
$$\ln M_0 - \pi t^* f_i = K(f_i) \quad (11)$$

$$K(f_i) = \ln A(\omega_i) - \ln C - \ln S(\omega_i) + \ln R -$$

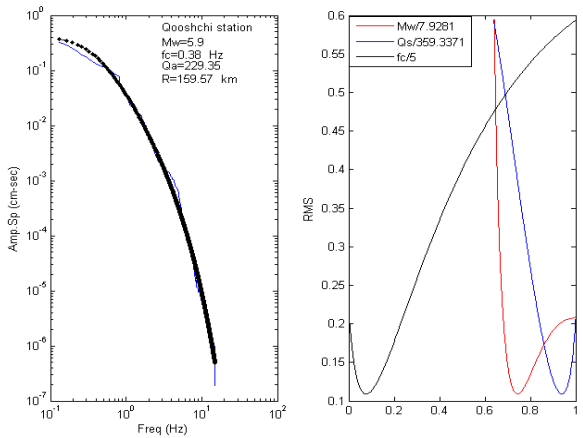
۴ بحث

براساس مدل چشمیه برون (۱۹۷۰) منطبق شده است، بهمراه مقدار تفاوت (خطای) بین موارد نظری و مشاهده‌ای برای پارامترهای بسامد گوش، بزرگی گشتاور و Q میانگین مسیر از معادله (۳) نشان داده شده است. برای دو زمین‌لرزه اهر – ورزقان مقادیر گشتاور لرزه‌ای، بسامد گوش و فاکتور کیفیت امواج بُرُشی برای همه شتاب‌نگاشتهایی که میزان خطای RMS بین طیف نظری و مشاهده‌ای بعد از وارون‌سازی کمتر از $1/10$ بودند در جدول‌های ۱ و ۲ آورده شده است.

در این تحقیق برای دو زمین‌لرزه اهر – ورزقان و با استفاده از محتواهی بسامدی امواج SH، بسامد گوش، گشتاور لرزه‌ای و Q مستقل از بسامد برای هر شتاب‌نگاشت با استفاده از روش وارون‌سازی تعیین یافته به طور هم‌زمان برآورد شد. در شکل‌های ۴ و ۵ مثال‌هایی از دو شتاب‌نگاشت و نحوه برآورد سه پارامتر پیش‌گفته عرضه شده است. برای استگاه‌های هریس و قوشچی که در آن طیف جابه‌جایی مشاهده‌ای به طیف جابه‌جایی نظری



شکل ۴. مثالی از الگوریتم اجرا شده برای رویداد اول در ایستگاه هریس در فاصله ۲۹/۵ کیلومتری از کانون زمین‌لرزه. طیف جابه‌جایی و مدل چشمیه برون (۱۹۷۰) برای طیف جابه‌جایی موج بُرُشی به دست آمده از طیف شتاب مولفه SH در سمت چپ (رنگ مشگی نشان‌دهنده طیف نظری و رنگ آبی نشانگر طیف مشاهده‌ای است) و مقادیر تفاوت (خطای) بین مدل نظری و مشاهده‌ای برای پارامترهای بزرگی گشتاور، فاکتور کیفیت میانگین مسیر و بسامد گوش از معادله (۹) در سمت راست نشان داده شده است.



شکل ۵. مثالی از الگوریتم اجرا شده برای رویداد دوم در ایستگاه قوشچی در فاصله ۱۵۹/۶ کیلومتری از کانون زمین‌لرزه. طیف جابه‌جایی و مدل چشمیه برون (۱۹۷۰) برای طیف جابه‌جایی موج بُرُشی به دست آمده از طیف شتاب مولفه SH در سمت چپ (رنگ مشگی نشان‌دهنده طیف نظری و رنگ آبی نشانگر طیف مشاهده‌ای است) و مقادیر تفاوت (خطای) بین مدل نظری و مشاهده‌ای برای پارامترهای بزرگی گشتاور، فاکتور کیفیت میانگین مسیر و بسامد گوش از معادله (۹) در سمت راست نشان داده شده است.

جدول ۱. برآورده از پارامترهای چشم، فاکتور کیفیت میانگین مسیر امواج بُرشی و خطای جذرمیانگین مربuat برای هر شتابنگاشت از رویداد اول.

ایستگاه	Q_s	f_c (Hz)	M_w	M_0 (dyn-cm)	r (km)	$\Delta\sigma$ (bar)	Δu (cm)	TdB (sec)	TdH (sec)	Hyp (km)	RMS
Ajab Shir	289	0.57	5.67	4.06E+24	2.29	149	72.05	1.54	1.75	131.47	0.10
Boran-e-olya	304	0.04	6.91	2.95E+26	32.59	4	25.82	21.91	25.00	117.84	0.09
Haris	103	0.33	5.85	7.51E+24	3.95	53	44.67	2.66	3.03	29.49	0.08
Hashtrood	225	0.06	6.68	1.32E+26	21.72	6	25.92	14.60	16.67	104.35	0.08
Lahrood	416	0.05	6.74	1.62E+26	26.07	4	22.11	17.53	20.00	86.52	0.09
Marand	246	0.12	6.33	4.03E+25	10.86	14	31.69	7.30	8.33	93.18	0.07
Qooshchi	370	0.06	6.77	1.84E+26	21.72	8	36.20	14.60	16.67	164.28	0.07
Sarab	280	0.12	6.17	2.27E+25	10.86	8	17.85	7.30	8.33	79.98	0.09
Shabestar	236	0.21	6.36	4.40E+25	6.21	81	105.99	4.17	4.76	102.03	0.08
Tabriz 4	134	0.05	6.99	3.87E+26	26.07	10	52.85	17.53	20.00	59.43	0.05
Tabriz 5	123	0.09	6.73	1.57E+26	14.48	23	69.44	9.74	11.11	55.79	0.08
Tasooj	269	0.13	6.63	1.12E+26	10.03	49	103.15	6.74	7.69	129.48	0.10
Varzaqan	71	0.28	6.72	1.51E+26	4.66	657	648.74	3.13	3.57	21.30	0.09
Zenooz	276	0.14	6.31	3.67E+25	9.31	20	39.32	6.26	7.14	90.13	0.07

جدول ۲. برآورده از پارامترهای چشم، فاکتور کیفیت میانگین مسیر امواج بُرشی و خطای جذرمیانگین مربuat برای هر شتابنگاشت از رویداد دوم.

ایستگاه	Q_s	f_c (Hz)	M_w	M_0 (dyn-cm)	r (km)	$\Delta\sigma$ (bar)	Δu (cm)	TdB (sec)	TdH (sec)	Hyp (km)	RMS
Astara	399	0.08	6.59	9.73E+25	16.29	9.84	34.01	10.95	12.50	182.24	0.08
Avin	276	0.18	6.36	4.36E+25	7.24	50.21	77.13	4.87	5.56	118.05	0.06
Azarshahr	237	0.25	6.09	1.74E+25	5.21	53.84	59.54	3.51	4.00	101.43	0.02
Basmanj	145	0.15	6.29	3.51E+25	8.69	23.38	43.10	5.84	6.67	54.68	0.07
Boran-e-olya	300	0.19	6.04	1.47E+25	6.86	19.87	28.91	4.61	5.26	118.31	0.04
Eslam-Abad	561	0.10	6.36	4.37E+25	13.03	8.64	23.89	8.76	10.00	107.16	0.09
Germi	470	0.13	6.20	2.59E+25	10.03	11.22	23.86	6.74	7.69	130.98	0.05
Haris	118	0.26	6.27	3.2E+25	5.01	111.14	118.19	3.37	3.85	35.80	0.06
Hashtrood	254	0.13	6.40	5.13E+25	10.03	22.27	47.36	6.74	7.69	108.31	0.09
Koraiem	376	0.14	6.11	1.9E+25	9.31	10.28	20.30	6.26	7.14	137.80	0.09
Lahrood	491	0.05	6.89	2.72E+26	26.07	6.72	37.15	17.53	20.00	91.78	0.09
Marand	225	0.12	6.37	4.62E+25	10.86	15.77	36.33	7.30	8.33	87.39	0.06
Nazarkahrizi	284	0.11	6.47	6.42E+25	11.85	16.88	42.42	7.97	9.09	119.56	0.04
Nir	442	0.06	6.63	1.12E+26	21.72	4.76	21.95	14.60	16.67	114.85	0.08
Shabestar	207	0.22	6.26	3.09E+25	5.92	65.08	81.79	3.98	4.55	97.31	0.10
Tabriz 4	135	0.44	5.91	9.51E+24	2.96	159.95	100.51	1.99	2.27	56.91	0.08
Tabriz 6	163	0.25	5.91	9.42E+24	5.21	29.08	32.17	3.51	4.00	56.68	0.06
Tasooj	263	0.23	6.16	2.24E+25	5.67	53.89	64.79	3.81	4.35	124.06	0.07
Varzaqan	58	0.68	6.03	1.41E+25	1.92	877.94	356.97	1.29	1.47	15.01	0.06
Yekan Kahriz	270	0.22	6.03	1.43E+25	5.92	30.15	37.90	3.98	4.55	122.60	0.08
Zanjireh	255	0.44	5.84	7.26E+24	2.96	122.23	76.81	1.99	2.27	122.94	0.06
Zenooz	243	0.18	6.23	2.85E+25	7.24	32.80	50.38	4.87	5.56	83.96	0.08

ایستگاه‌ها برای رویداد اول و دوم به ترتیب برابر (bar) ۸۷ و ۳۲ برآورد شد. طبق این مدل میانگین لغزش از رابطه (۱۸) با جایگذاری سختی میانگین (dyn/cm) $+11 = \frac{3/43E}{\mu r^2}$ ، برای (cm) ۱۱۰ برای رویداد اول (cm) ۵۰ سانتی‌متر برای رویداد دوم برآورد شد:

$$\Delta u = \frac{M_0}{\mu \pi r^2} \quad (18)$$

که μ از رابطه $\rho = \beta^2 \mu$ ، با جایگذاری ρ منطقه برابر $2/8$ (gr/cm³) و β برابر (km/s) $3/4$ (تقی‌زاده‌فرهمند و صدویی، ۲۰۱۰) به دست آمد. مقدار لغزش میانگین برای هر ایستگاه محاسبه و نتایج آن در جدول‌های ۱ و ۲ آمده است. در مدل برون فرض براین است که جابه‌جایی دایره‌ای و انتشار دوسویه است، که در آن مدت‌زمان چشم‌هه معادل $T_d = \frac{r}{v_r}$ تعریف می‌شود. در این رابطه ۲ ساعت $v_r = 0.85\beta$ چشم‌هه و v_r سرعت شکست است، با فرض $M_{d_1} = 5/51$ و $M_{d_2} = 9/13$ (sec) مدت‌زمان چشم‌هه اول و دوم برآورد شد. برآورد واقعی تر از رابطه مدت‌زمان چشم‌هه بنابر رابطه $T_d = \frac{2r}{v_r}$ برابر (sec) $11/02$ و $18/26$ محاسبه شد که در توافق خوبی با رابطه $\frac{1}{f_c} T_d = 10/41$ (sec) است. این رابطه مقدار، $T_{d_1} = 10/41$ ثانیه و $T_{d_2} = 6/31$ را بهمنزله برآوردی برای مدت‌زمان چشم‌هه می‌دهد.

در طی فرایند وارون‌سازی، مقدار میانگین فاکتور کیفیت موج برشی در بازه بسامدی (Hz) $0.01 - 15$ برای هر شتاب‌نگاشت ثبت شده محاسبه شد. مقادیر Q برآورد شده در بازه ۷۰ تا ۵۶۱ قرار دارند و با افزایش فاصله مقدار Q افزایش می‌یابند این روند در شکل ۶ نشان داده شده است. با توجه به این شکل، تغییر فاکتور کیفیت میانگین Q مسیر با فاصله کانونی از رابطه $Q = 3.7814R - 4.7698$ پیروی می‌کند که با آنچه از افزایش مقدار Q با افزایش عمق در پوسته می‌توان انتظار داشت، هم‌خوانی دارد. پرتوهایی که به ایستگاه‌ها در فواصل دورتر می‌رسند،

با استفاده از این پارامترهای برآورد شده که طبق مدل‌سازی با استفاده از مدل برون (۱۹۷۰) محاسبه شده است و طبق مدل عرضه شده برون (۱۹۷۰) چشم‌هه مسبب زمین‌لرزه به صورت دایره‌ای فرض می‌شود که شعاع آن وابسته به بسامد گوشش است. لذا با استفاده از بسامد گوشش برآورد شده، شعاع چشم‌هه جابه‌جایی، r_0 ، از رابطه $\frac{2.34\beta}{2\pi f_c}$ و صدویی، (۲۰۱۰)، برای میانگین سرعت موج برشی در پوسته برآورد شد و مقدار آن برای همه ایستگاه‌ها در جدول ۱ و ۲ به ترتیب برای زمین‌لرزه‌های اول و دوم آورده شده است. مقدار میانگین شعاع چشم‌هه برآورد شده برای دو زمین‌لرزه اهر- ورزقان براساس این مدل چشم‌هه، $r_{01} = 13/6$ (km) و $r_{02} = 8/2$ برآورد شد. میانگین گشتاور لرزه‌ای برای ۴۸ سایت رویداد اول (dyn-cm) $M_{01} = 1/04 E + 26$ برای ۶۲ سایت رویداد دوم (dyn-cm) $M_{02} = 3/26 E + 25$ به دست آمد و نتایج آن برای هر سایت در جدول ۱ و ۲ آورده شده است. با استفاده از رابطه هانکس و کاناموری (۱۹۷۹) :

$$M_w = \frac{2}{3} \log M_0 - 10.7 \quad (16)$$

مقدار بزرگی گشتاور برای رویداد اول $M_{w1} = 6/54$ و رویداد دوم $M_{w2} = 6/24$ برآورد شد. پارامترهای گشتاور لرزه‌ای و بزرگای گشتاور محاسبه شده از پردازش و تحلیل داده‌های جنبش نیرومند زمین به طور قابل ملاحظه‌ای در توافق با نتایج به دست آمده از دانشگاه هاروارد (CMT) و موسسه ژئوفیزیک دانشگاه تهران (IRSC) هستند (جدول ۳).

طبق رابطه برون (۱۹۷۱)، افت تنش ناشی از یک زمین‌لرزه با استفاده از رابطه (۱۷) قابل محاسبه است.

$$\Delta \sigma = \frac{7M_0}{16r^3} \quad (17)$$

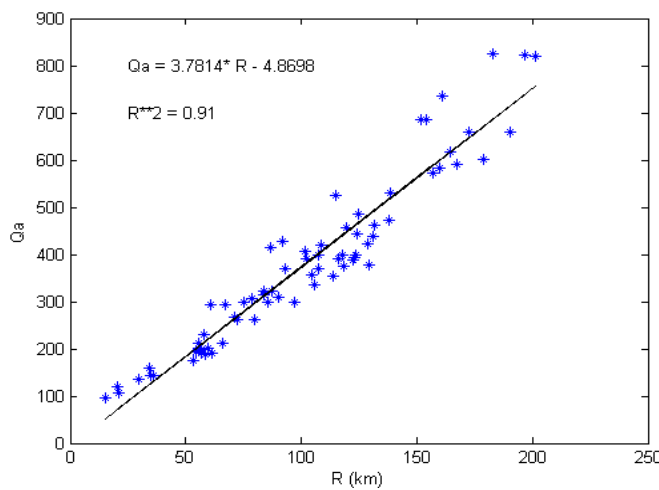
که در آن، ۲ ساعت چشم‌هه است. نتایج برای هر ایستگاه در جدول‌های ۱ و ۲ آمد و مقدار میانگین این پارامتر در کل

وابسته به بسامد گزارش شده است که به شکل روابط ریاضی قابل مقایسه با مقادیر برآورده در این تحقیق نیستند. با این حال رحیمی و همکاران (۲۰۱۰) رابطه بسامدی $Q=87f1.03$ را برای پهنه شمالی ایران برآورد کردند که مقادیر برآورده شده در تحقیق حاضر، در بازه بسامدی $0/1$ تا 15 هرتز، با بررسی پیشگفته هم خوانی دارد.

اعماق بیشتری را نمونه برداری می‌کنند و لذا می‌توان انتظار داشت که میرایی وابسته به فاصله کانونی باشد، به طوری که سایتها بیکه در فواصل رومگزی بزرگتری قرار گرفته‌اند Q بزرگتری از آنها بیکه دارند که در فواصل کوچکتر قرار گرفته‌اند. در پهنه فلات ایران تحقیقات گوناگونی برای برآورد فاکتور کیفیت صورت گرفته و در این تحقیقات، روابطی

جدول ۳. پارامترهای زمین‌لرزه اهر- ورزقان ۲۱ مرداد ۱۳۹۱

	مکان رومگزی- زمان وقوع عمق کانونی	بزرگی گشتوار گشتوار لرزه‌ای	حل صفحه گسل	منبع
رویداد اول	۲۰۱۲/۰۸/۱۱ ۱۲:۲۳:۱۵ ۳۸/۸۳ ۴۶/۸۱ ۹	$M_w = ۶/۵$ $M_0 = ۷/۳۴ E + ۲۵ \text{ dyn-cm}$	strike = ۱۷۳ dip = ۶۱ rake = -۴	Irc
	۲۰۱۲/۰۸/۱۱ ۱۲:۲۳:۲۰ ۳۸/۳۱ ۴۶/۸۰ ۱۵	$M_w = ۶/۰$ $M_0 = ۷/۰۴ E + ۲۵ \text{ dyn-cm}$	strike = ۱۷۵ dip = ۸۱ rake = ۶	CMT (Harvard)
رویداد دوم	۲۰۱۲/۰۸/۱۱ ۱۲:۳۴:۳۳ ۳۸/۴۶ ۴۶/۸۴ ۴	$M_w = ۶/۳$ $M_0 = ۳/۸۳ E + ۲۵ \text{ dyn-cm}$	strike = ۷ dip = ۵۷ rake = ۲۱	Irc
	۲۰۱۲/۰۸/۱۱ ۱۲:۳۴:۳۹ ۳۸/۳۵ ۴۶/۷۸ ۱۹/۲	$M_w = ۶/۴$ $M_0 = ۵/۲۴ E + ۲۵ \text{ dyn-cm}$	strike = ۱۰ dip = ۵۰ rake = ۳۶	CMT (Harvard)



شکل ۶. تغییرات فاکتور کیفیت میانگین مسیر امواج بُرشی با فاصله کانونی.

- Iran, revealed from local seismic network, *Geoscience J.*, **49**(50), 104-111.
- Hanks, T C., 1982, f_{\max} , *Bull Selsm Soc. Am.*, **72**, 1867-1879.
- Hanks, T. C. and Kanamori, H., 1979, A moment magnitude scale, *J. Geophys. Res.*, **84**, 2348-2350.
- Hanks, T. C. and McGuire, R. K., 1981, the character of high-frequency strong ground motion, *Bull. Seism. Soc. Am.*, **71**, 2071-2095.
- Herrmann, R. B. and Kijko, A., 1980, Short-period Lg magnitudes: Instrument, attenuation, and source effects, *Bull. Seism. Soc. Am.*, **73**, 1835-1850.
- Hessami, K., Pantosti, D., Tabassi, H., Shabanian, E., Abbasi, M. R., Feghhi, K. and Solaymani, S., 2003, Paleoearthquakes and slip rates of the North Tabriz Fault, NW Iran: preliminary results, *Ann Geophys* **46**, 903-915.
- Jackson, J., 1992, Partitioning of strike-slip and convergent motion between Eurasia and Arabia in Eastern Turkey and the Caucasus, *J. Geophys. Res.*, **97**, 12471-12479.
- Jackson, J. and McKenzie, D., 1984, Active tectonics of the Alpine-Himalayan belt between western Turkey and Pakistan, *Geophys. J. Roy. Astron. Soc.*, **77**, 185-264.
- Joshi, A., 2006, Analysis of strong motion data of the Uttarkashi earthquake of 20th October 1991 and the Chamoli earthquake mid crustal Q value and source parameters, *ISET Journal of Earthquake Technology*, **46**(43), (1-2), 11-29.
- Kinoshita, S., 1994, Frequency-dependent attenuation of shear wave in the crust of the southern kanto area, *Bull. Seism. Soc. Am.*, **59**, 1387-1396.
- Knopoff, L., 1964, Q, *Reviews of Geophysics*, **2**(4), 625-660.
- Lay, T. and Wallace, T.C., 1995, Modern global seismology; Academic Press.
- Mirzaei, N., Gao, M. and Chen, Y., 1999, Delineation of potential seismic sources for seismic zoning of Iran, *Journal of Seismology*, **3**, 17-30.
- Mitchell, B. J., 1995, Anelastic structure and evolution of continental crust and upper mantle from seismic surface wave inversion, *Rev. Geophys.*, **33**, 441-462.
- Nuttli, O. W., 1980, the excitation and attenuation of seismic crustal phases in Iran, *Bulletin of*

۵ نتیجه‌گیری

در این تحقیق پارامترهای چشمی دو زمینلرزه اهر - ورزقان ۱۳۹۱ و فاکتور کیفیت امواج بُرشی مستقل از بسامد با استفاده از روش وارونسازی خطی برآورد شد. در این روند بسامد گوشش، گشتاور لرزه‌ای و فاکتور کیفیت مستقل از بسامد به صورت هم‌زمان برای هر شتاب‌نگاشت برآورد شد. از تحلیل شتاب‌نگاشتهای، فاکتور کیفیت میانگین مستقل از بسامد برای پوسته بالای ناحیه در بازه بسامدی $15 - 100$ Hz با 561 ± 0.1 در بازه $70 - 100$ Hz مقدار متوسط 276 ± 0.4 به دست آمد که وابستگی آن با فاصله $Q = 3.7814R - 4.7698$ از کانون زمینلرزه از رابطه پیروی می‌کند. گشتاور لرزه‌ای برآورد شده به ترتیب برای رویداد اول و دوم برابر $= 10^{4.8} \times 10^{8.26}$ (dyn-cm) و $= 10^{4.8} \times 10^{8.25}$ (Hz)، بسامد گوشش $M_{0_2} = 3/26 \times 10^{8.25}$ و $M_{0_1} = 3/13 \times 10^{8.26}$ (Hz) می‌باشد. شعاع چشمی $r_{c_2} = 13/59$ Km و $r_{c_1} = 13/59$ Km، $f_{c_2} = 0.17$ و $f_{c_1} = 0.17$ Hz، $\Delta u_2 = 50$ cm و $\Delta u_1 = 110$ cm، $r_2 = 8/19$ و $r_1 = 8/19$ Km، $T_{d_2} = 5/51$ و $T_{d_1} = 9/13$ sec، $A_{d_2} = 5/51$ و $A_{d_1} = 9/13$ sec، مدت زمان چشمی $\Delta\sigma_1 = 32$ و $\Delta\sigma_2 = 87$ bar و بزرگی $M_{w_2} = 6/24$ و $M_{w_1} = 6/54$ می‌باشد. گشتاور لرزه‌ای برآورد شد.

مراجع

- Ambraseys, N. N. and Melville, C. P., 1982, *A history of Persian earthquakes*, Cambridge University Press, London, 219pp.
- Aki, K., 1967, Scalling law of seismic spectrum, *J. Geophys. Res.*, **72**, 1217-1231.
- Boor, D. M., 1983, Stochastic simulation of high-frequency ground motions based on seismological models of the radiated spectra., *BSSA*, **73**(6A), 1865-1894.
- Brune, J. N., 1970, Tectonic stress and the spectra of seismic shear waves from earthquakes, *J. Geophys Res* **75**, 4997-5009.
- Fletcher, J. B., 1995, Source parameters and crustal Q for four earthquakes in South Carolina, *Seism. Res. Lett.*, **66**, 44-58.
- Gheitanchi, M. R., Mirzaei, N. and Bayramnajad, A., 2004, Pattern of seismicity in northwest

- collision zone in the Southwestern Iran, *J. Geophys. Eng.*, **2**, 173-186.
- Rahimi, H., Motaghi, K., Mukhopadhyay, S. and Hamzehloo, H., 2010, Variation of coda wave attenuation in the Alborz region and central Iran, *Geophys. J. Int.*, **181**, 1643-1654.
- Taghizadeh-Farahmand, F. and Sodoudi, F., 2010, Lithospheric structure of NW Iran from P and S receiver functions, *J. Seismol.*, **14**, 823-836.
- the Seismological Society of America, **70**(2), 469-485.
- Papageorgiou, A. S. and Aki, k., 1983, A specific barrier for the quantitative description of inhomogeneous faulting and the prediction of strong ground motion *II applications of the model*, *Bull. Se-sm Soc Am* **73**, 953-978.
- Rahimi, H. and Hamzehloo, H., 2008, Lapse time and frequency-dependent attenuation of coda waves in the Zagros continental